

## 아세톡시 1,3-옥사티올란의 입체화학의 결정

韓昊奎\* · 張基赫 · 李和錫 · 馬惠德†

한국과학기술연구원 응용화학연구부

† 경기대학교 이과대학 화학과

(1995. 12. 11 접수)

### Determination of Stereochemistry of Acetoxy 1,3-Oxathiolane

Hoh-Gyu Hahn\*, Kee Hyuk Chang, Wha Suk Lee, and He-Duck Mah†

Korea Institute of Science and Technology, P.O. Box 131 Cheongryang, Seoul 130-650, Korea

† Department of Chemistry, Kyonggi University, Suwon 440-270, Korea

(Received December 11, 1995)

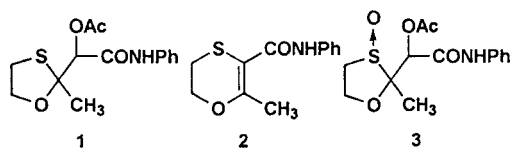
**요약.** 아세톡시 1,3-옥사티올란 **1**의 이성체들의 입체화학을 두 가지 방법에 의해 결정하였다. 첫째, 산촉매하에서 디히드로옥사티인 **2**로의 전환되는 반응속도 차이에 의해 알파이성체 **7**과 베타이성체 **9**의 구조를 결정하였다. 이탈기인 아세톡시기가 황원자와 트랜스 위치에 있을 때 1,3-옥사티올란 고리에 대한 입체장애가 적은 이성체가 알파이성체 **7**이며 반응속도가 느린 이성체가 베타이성체 **9**이었다. 둘째, 술폭시드의 각각의 diastereomer들의 중수소 치환반응에서, methine 수소가 중수소로 치환된 화합물은 시스이성체 **15**, **17**, 그리고 메틸기의 수소가 중수소로 치환된 화합물은 트랜스이성체 **16**, **18**이었다. Methine 또는 메틸기의 수소의 중수소로의 치환은 [2,3] 시그마트로픽 전위에 의한 입체특이적 개환 및 폐환의 결과였다.

**ABSTRACT.** Stereochemistries of acetoxy 1,3-oxathiolane **1** were determined by two methods. First, the structures of  $\alpha$  isomer **7** and  $\beta$  isomer **9** were confirmed by the difference of their conversion rates to dihydrooxathiin **2** under acid catalysis. When the acetoxy leaving group is located in trans relationship to sulfur, a isomer in which carboxanilide is less hindered sterically against the 1,3-oxathiolane ring is  $\beta$  isomer **7**, and the other isomer of which the reaction rate is slower than **7** is  $\beta$  isomer **9**. Second, in the deuterium reactions of diastereomeric sulfoxides, the isomers of which methine hydrogen is substituted to deuterium were cis isomers **15** and **17**, and another isomers of which methyl hydrogen is substituted to deuterium were trans isomers **16** and **18**. Substitution of either methine or methyl hydrogen to deuterium resulted from stereospecific ring opening followed by recyclization by [2,3] sigmatropic rearrangement.

### 서 론

의약, 농약을 포함한 생물활성을 나타내는 화합물 중 황원자가 포함된 화합물이 많이 알려져 있어서 그들의 합성에서 유기황화학의 중요성은 매우 크며 고리폐환에 의한 생물활성을 가진 새로운 화합물의 합성은 신물질 개발에서 중요한 방법 중의 하나이다.<sup>1</sup> 황원자는 *d* 오비탈에 비공유전자쌍(lone paired electron)을 갖고 있어서 인접기 참여(neighboring group participation)에 의해 다양한 반응성을 나타낸다.<sup>2</sup> 본

연구실에서는 산촉매하에서 아세톡시 1,3-옥사티올란 **1**의 디히드로옥사티인 **2**로의 전환에 관해 보고한 바 있다.<sup>3</sup> 그런데 아세톡시 1,3-옥사티올란 **1**의 분자내에는 두개의 비대칭탄소(asymmetric carbon)가 있어서 두 쌍의 부분이성질체(diastereomer)로 분리할 수 있었으며 이들 이성질체들은 아세톡시의 공간배열에 따라서 디히드로옥사티인 **2**로의 전환되는 반응속도가 달랐다. 본 연구에서는 이들 이성체의 황원자의 인접기 참여를 통한 반응속도 차이에 근



Structure 1.

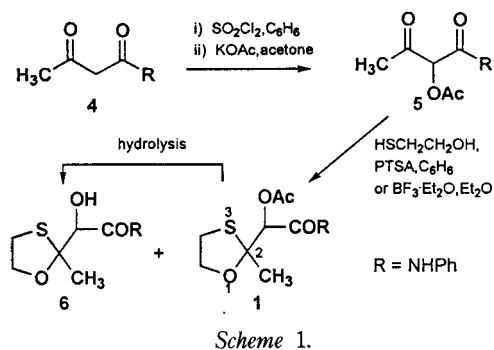
거하여 그들의 입체화학을 결정하고자 한다. 또한 **1**을 산화하여 술폭사이드 **3**을 제조하고 **3**의 입체특이적인 [2,3] 시그마트로픽 전위(sigmatropic rearrangement)에 의한 분자내 개환 및 폐환의 성질을 이용하여 술폭사이드 **3** 및 아세톡시 1,3-옥사티올란 **1**의 입체화학을 밝히고자 한다.

### 결과 및 토의

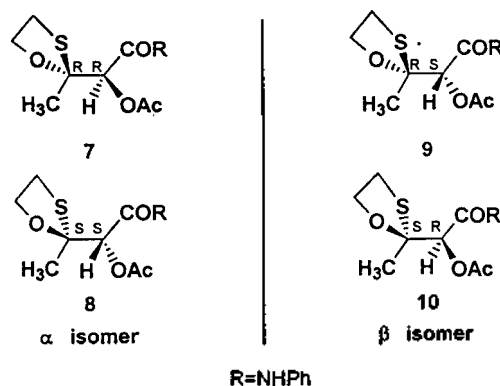
**아세톡시 1,3-옥사티올란.** 아세토아세트알리드 **4**를 술폰릴클로라이드(SO<sub>2</sub>Cl<sub>2</sub>)로 염화한 다음 초산칼륨과 반응시켜 얻은 알파-아세톡시 화합물 **5**와 2-머캅토에탄올을 일반적인 헤미티오케탈화(hemithioketallization) 방법<sup>4</sup>인 산촉매, 파라톨루엔술폰산(PTSA) 존재하의 벤젠 용액중에서 가열 환류하였다니 낮은 수율의 아세톡시 1,3-옥사티올란 **1**(36%)과 히드록시 1,3-옥사티올란 **6**(12%)이 상당량 생성하였다. 부산물 **6**의 생성은 화합물 **1**의 가수분해에 의한 것으로 생각된다. 이때 무수에테르 용액중에서 산촉매로 삼불화붕소·에테르(BF<sub>3</sub>·Et<sub>2</sub>O)를 사용하면 아세톡시 1,3-옥사티올란 **1**(75%)이 높은 수율로 얻어졌고 히드록시 1,3-옥사티올란 **6**(8%)은 소량 생성되었다(Scheme 1).

아세톡시 1,3-옥사티올란 **1**은 분자내에 2개의 비대칭 탄소를 갖고 있으므로 4개의 거울상이성질체(enantiomer)로 구성되며 2쌍의 부분입체이성질체(diastereomer)로 분리될 수 있다. 카르보닐기의 알파 위치의 탄소와 옥사티올란 고리의 C-2의 탄소와의 결합에 대해서 아세톡시기와 C-S 결합이 동일 방향에 위치해 있는 이성체를 알파이성체( $\alpha$  isomer), 그들이 서로 반대 방향에 있는 이성체를 베타이성체( $\beta$  isomer)라 임의로 정하였고 알파이성체와 베타이성체는 서로 diastereomer의 관계이다(Fig. 1).

실제로 알파이성체는 **7**(R,R), **8**(S,S)의 혼합물이며 베타이성체는 **9**(R,S)와 **10**(S,R)의 혼합물이지만, 앞으로의 본 논술을 간략하기 위해서 알파이성체를 **7**



Scheme 1.

Fig. 1. Stereoisomers of  $\alpha$ -Acetoxy-1,3-oxathiolane **1**.

(R,R)로, 베타이성체를 **9**(R,S)로 대표하기로 하였다. 상술한 반응(Scheme 1)에서 얻은 아세톡시 1,3-옥사티올란 **1**은 1:1의 알파이성체 **7**과 베타이성체 **9**의 혼합물이었으며(<sup>1</sup>H NMR에 의한) 판크로마토그래피로 분리 가능하였다.

본 연구실에서 이미 보고한<sup>3</sup> 바처럼 아세톡시 1,3-옥사티올란 **1**은 산촉매하에서 디히드로옥사티인 **2**로 전환되었으며, 의심할 것 없이 이 반응은 아세톡시기에 산첨기(protonation)된 다음 황원자의 인접기 참여에 의해 중간체 술포늄이온 **11**을 거쳐 보다 안정한 옥소늄이온 **12**를 통해 진행된 결과이다. 이때 이탈기인 아세톡시기가 황원자의 비공유전자쌍의 공격방향에 대하여 트랜스 위치일 때 반응은 더 쉽게 진행된다(Scheme 2).

알파이성체 **7**과 베타이성체 **9**의 입체화학은 각각 그들의 산촉매 존재하에서의 디히드로옥사티인 **2**로의 전환되는 반응속도의 차이를 근거로 결정하였다. 즉, 촉매량의 PTSA 존재하의 톨루엔 용액중에서

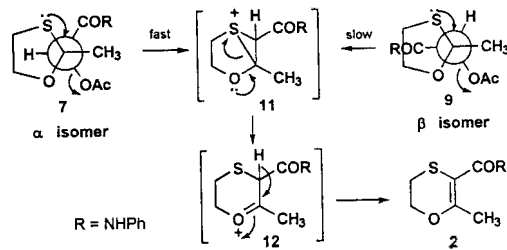
알파 및 베타이성체를 각각 환류하였을 때, 5시간 후에, 그것의 92%가 디히드로옥사티인 2로 전환된 이성체를 알파이성체 7, 동일한 반응 조건하에서 120시간 후에도 55%의 출발물질이 남아있는 이성체를 베타이성체 9라고 결정하였다(Table 1). 이것은 상술한 두 이성체를 Newman projection에서 나타낸 바 처럼(Scheme 2) 이탈기인 아세톡시기가 황원자와 서로 트랜스 위치에 있을 때, 알파이성체 7의 경우에 1,3-옥사티올란 고리와 bulky한 카르복시아닐리드기 사이의 입체장애가 베타이성체 9의 경우의 그것보다 더 작기 때문에 해석할 수 있다.

산촉매, PTSA의 존재하에서 알파이성체 7 및 베타이성체 9를 각각 톨루엔 용액 중에서 가열 환류할 때 남아있는 출발물질의 농도를 반응시간에 대하여 plot한 결과 반응속도 상수가 각각  $k=1.4 \times 10^{-4} \text{ sec}^{-1}$  및  $k=1.4 \times 10^{-6} \text{ sec}^{-1}$ 이었고(Fig. 2) 이 고리 팽창반응은  $S_N2$  메카니즘으로 진행된 것으로 생각된다. 만약 전술한 반응이  $S_N1$ 에 의한 stepwise 메카니즘으로 진행되었다면 아세톡시기의 공간배열에 상관없이 생성 가능한 중간체 카르보니움 이온을 통한 디히드로옥사티인 2로의 전환속도는 비슷할 것이다. 알파이성체 7을 촉매량의 PTSA 존재하에서

톨루엔 용액 중에서 가열할 때 베타이성체 9가 전혀 발견되지 않았고 베타이성체 9의 경우에도 동일한 반응조건하에서 알파이성체 7을 전혀 발견할 수가 없었다(얇은 막크로마토그래피). 다시 말하면 이들 이성체 7과 9 사이의 이성질화(isomerization)는 이 반응조건하에서 일어나지 않은 것으로 보인다.

상술한 반응이 황원자의 인접기참여에 의해 진행되었다는 또 다른 근거는 다음과 같다. 옥사티올란 고리내의 산소원자 대신에 황원자로 치환된 아세톡시 1,3-디티올란 13을 PTSA 촉매 존재하의 톨루엔 용액중에서 5시간 동안 가열 환류한 결과 대부분(95%) 디히드로디티인 14로 전환되었으며 이 고리 팽창반응의 반응속도는 알파이성체 7의 그것과 유사하였다. 이것은 아세톡시 1,3-디티올란 13의 5각형 고리내에 두개의 황원자가 존재하므로 아세톡시의 공간배열과 무관하게 황원자가 쉽게 인접기참여를 할 수 있기 때문이다(Scheme 3).

아세톡시 1,3-옥사티올란 숏록시드. 아세톡시 1,3-옥사티올란 1의 입체화학을 결정할 수 있는 다른 방법은 화합물 1을 숏록시드 3으로 전환한 다음 숏록시드 유도체의 [2,3] 시그마트로픽 전위(sigmatropic rearrangement)의 특성을 이용한 것이다.<sup>5</sup> 숏록



Scheme 2.

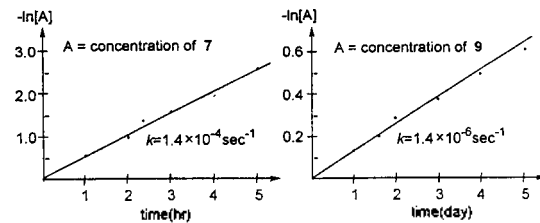
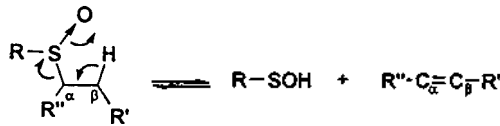
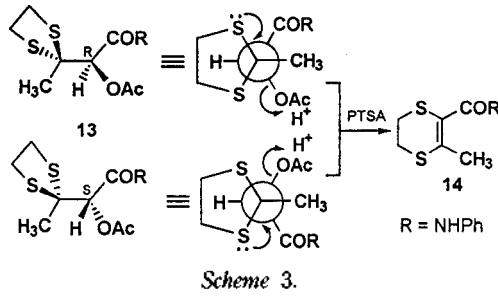


Fig. 2. Plots of unreacted isomers (7 or 9) vs. reaction time.

Table 1. Conversion of  $\alpha$  isomer 7 and  $\beta$  isomer 9 in the presence of PTSA (5/100 eq.) in refluxing toluene solution (by  $^1\text{H}$  NMR)

Time (hr)	Dihydrooxathiin 2 (%)	$\alpha$ isomer 7 (%)	Time (hr)	Dihydrooxathiin 2 (%)	$\beta$ isomer 9 (%)
0	0	100	0	0	100
1	42	58	24	15	85
2	62	38	48	25	75
3	78	22	72	30	70
4	82	18	96	39	61
5	92	8	100	45	55

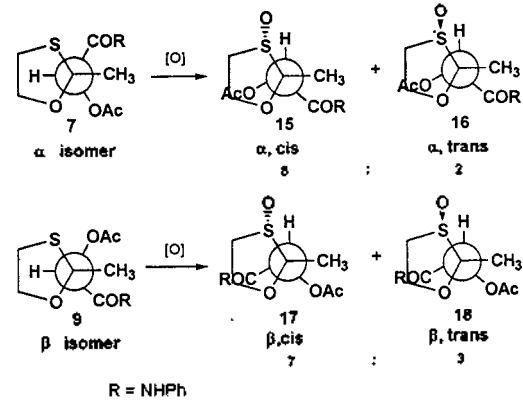


Structure 2.

시드의  $\beta$  위치의 수소를 포함한 5개의 원자(O, S, C $_{\alpha}$ , C $_{\beta}$ , H)가 동일 평면상에 놓일 때 [2,3] 시그마트로픽 전위가 가장 쉽게 일어나 술페닌산(R-SOH)과 올레핀(R''-C=C-R')이 생성되며 이 반응의 역반응도 입체특이적인 concerted 메카니즘으로 진행된다고 알려져 있다.<sup>6</sup>

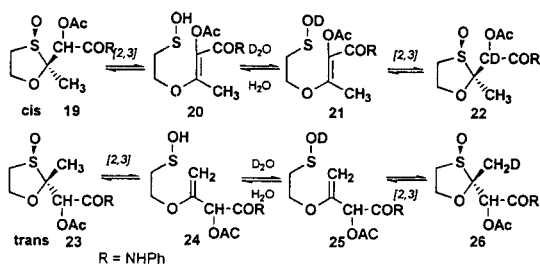
아세트옥시-1,3-옥사티올란 1을 산화하여 생성되는 술폭시드 3의 분자내에는 술폭시드기에 대하여 베타 위치에 두 종류의 수소원자(CH<sub>3</sub> 및 methine H)가 존재하므로 상술한 술폭시드의 특성을 이용한 중수소 치환 반응(deuterium incorporation reaction)을 통하여 1,3-옥사티올란 1의 입체화학을 확인하기로 하였다.

아세트옥시-1,3-옥사티올란 술폭시드 3은 3군데에 비대칭 중심(asymmetric center)을 가지고 있으므로 8개의 거울상이성질체로 구성되며 4쌍의 부분입체 이성질체로 분리될 수 있다. 옥사티올란 고리에 대하여 S=O기와 methine 수소가 붙어 있는 탄소가 동일 평면상에 있는 이성체를 시스술폭시드, S=O기와 메틸기가 동일 평면상에 있는 이성체를 트랜스술폭시드라고 임의로 정하였다. 아세트옥시-1,3-옥사티올란의 알파이성체 7 및 베타이성체 9를 각각 메타클로로퍼벤조산(MCPBA)으로 산화하면<sup>7</sup> 상응하는 8:2의 알파이성체의 시스술폭시드 15와 트랜스술폭시드 16의 혼합물이, 7:3의 베타이성체의 시스술폭시드 17과 트랜스술폭시드 18의 혼합물이 생성되었다(Scheme 4).



술폭시드들의 공간배열을 확인하기 위해서 중수소 치환반응을 수행하였다.<sup>9</sup> 상술한 4개의 diastereomer들을 과량의 중수소수(D<sub>2</sub>O) 존재하의 톨루엔 용액 중에서 각각 가열 환류하였다. 그들의 입체 화학에 따라 중수소로 치환되는 수소의 위치가 다르거나, 그 속도가 달랐다. 즉, 알파이성체 시스술폭시드 15 및 베타이성체 시스술폭시드 17을 각각 톨루엔 용액중에서 과량의 중수소수 존재하에서 4시간 동안 가열 환류한 결과 15의 methine 수소의 100%가 중수소로 치환된 반면에, 17의 그것은 40%가 중수소로 전환되었다('H NMR에 의함). 시스술폭시드 중에서 알파이성체 15의 중수소 치환속도가 베타이성체 17의 그것보다 빠른 것은 전술한 바와 같이 [2,3] 시그마트로픽 전위에 참여하는 5개의 원자가 동일 평면에 놓일 때 알파이성체 시스술폭시드 15의 경우에 옥사티올란 고리와 bulky한 카르복시아닐리드기와의 입체장애가 베타이성체 시스술폭시드 17의 경우의 그것보다 더 작기 때문인 것으로 생각된다(Scheme 4 참조). 이들 수소가 후술하는 메틸기의 수소에 비하여 치환속도가 빠른 것은 이들 수소가 인접한 카르보닐기에 의해서 활성화되어 있기 때문이다. 예상했던대로 동일한 조건하에서 알파이성체 트랜스술폭시드 16 및 베타이성체 트랜스술폭시드 18의 메틸수소는 모두 유사한 속도(10시간 후 10%)로 중수소로 치환되었으며, 이것은 이들 술폭시드들의 메틸기의 수소가 참여하는 시그마트로픽 전위 과정은 아세트옥시기의 입체화학과 무관하기 때문이다.

시스와 트랜스이성체의 구조식을 다른 방법으로



Scheme 5.

표기하면 Scheme 5에 나타난 것처럼 시스이성체 19의 methine 수소는 술폭시드기와 동일한 평면에 놓여 [2,3] 시그마트로픽 전위에 의한 개환이 가능하다. 중간체 술페닌산 20과 21은 중수소로 치환된 시스이성체 22로 폐환되었으며, 트랜스이성체 23도 유사한 방법에 의해서 중간체 24와 25를 통하여 메틸기의 수소가 중수소로 치환된 트랜스이성체 26으로 전환된 것으로 생각된다(Scheme 5).

### 결론

1,3-옥사티올란의 황원자의 위치의 입체화학을 그들의 황원자의 인접기 참여에 의한 반응속도의 차이로부터 결정할 수 있는 방법을 제시하였다. 즉, 알파-아세톡시아세토아세트아닐리드 5와 2-머캅토에탄올의 헤미티오케탈화 반응에 의해서 생성된 아세톡시 1,3-옥사티올란 1의 입체화학을 그들의 산촉매 존재하에서의 디히드로옥사티인 2로의 전환되는 반응속도 차이와 아세톡시 1,3-옥사티올란 술폭시드 3의 중수소 치환반응의 결과로부터 결정하였다. 황원자와 이탈기인 아세톡시기가 트랜스 위치에 놓일 때 1,3-옥사티올란 고리와 카르복시아닐리드기 사이의 입체장애가 적은 알파이성체 7의 반응속도가 그들의 입체장애가 큰 베타이성체 9의 그것보다 약 100배 빨랐다. 1,3-옥사티올란 유도체의 입체화학을 결정할 수 있는 또 다른 방법을 제시하였다. 즉, 이들의 술폭시드기의 [2,3] 시그마트로픽 전환을 이용한 중수소 치환을 통하여 중수소로 치환되는 수소의 위치를 결정하였고 이 결과로부터 1,3-옥사티올란 유도체의 입체화학을 결정하였다.

즉, 아세톡시 1,3-옥사티올란 1의 산화에 의해서 생성된 술폭시드 3의 각각의 diastereomer들을 중수소 치환반응을 하였더니 methine 수소가 중수소로

치환된 화합물은 시스이성체 15, 17, 그리고 메틸기의 수소가 중수소로 치환된 화합물은 트랜스이성체 16, 18이었다. 시스이성체중 1,3-옥사티올란 고리와 카르복시아닐리드기와의 입체장애가 적은 화합물은 알파이성체 15이었고 그들의 입체장애가 큰 화합물은 베타이성체 17이었다. 중수소 치환반응 결과에 의해서 중수소로 치환되는 수소의 종류와 그 치환반응 속도차이에 의해서 술폭시드 3과 1,3-옥사티올란 1의 입체화학을 결정할 수 있었다.

### 실험

#### 일반적인 사항

녹는점은 Thomas-Hoover capillary melting apparatus를 이용하여 측정하였다. 수소핵자기공명스펙트럼(<sup>1</sup>H NMR)은 Varian Model EM 360(60 MHz) 또는 Bruker AM-200(200 MHz)을 사용하여 얻었으며 tetramethylsilane을 표준물질로 δ 값으로 표기하였다. 적외선흡수스펙트럼(IR)은 NICOLET MAGNA 750을 사용하여 얻었다. 관 크로마토그래피는 silica gel 60(GF 254, 230~400 mesh)과 유리관을 사용하였다. 톨루엔은 염화칼슘으로 건조하고 나트륨 존재하에서 분별증류하여 질소하에서 보관하였고, 클로로포름, 벤젠, 아세트산 에틸 등은 일급시약을 사용하였다. 아세토아세트아닐리드, 2-머캅토에탄올 등의 시약은 Aldrich Chemical Co.에서 구입하였다.

#### 알파-아세톡시아세토아세트아닐리드 5의 합성

알파-클로로아세토아세트아닐리드<sup>10</sup>(64 g, 0.3 mol)의 아세톤(500 mL) 용액을 가열 환류하면서 초산칼륨(59 g, 0.45 mol)을 20분 동안 걸쳐 조금씩 가하였다. 계속해서 1시간 동안 더 가열 환류한 다음 반응혼합물을 여과하여 백색의 고체 침전물(KCl)을 제거하였다. 여액을 감압증발하여 얻은 노란색의 기름상의 액체를 메틸렌클로라이드(300 mL)에 녹인 후 찬물로 3회 씻고 건조(Na<sub>2</sub>SO<sub>4</sub>)하였다. 용매를 감압증발로 제거하여 얻은 노란색의 기름상의 액체(63.51 g, 90%)를 벤젠과 석유에테르에서 결정화하여 백색의 침상의 고체인 알파-아세톡시아세토아세트아닐리드 5(50 g)를 얻었다. 녹는점 78~80 °C; <sup>1</sup>H NMR (60 MHz)(CDCl<sub>3</sub>) 2.20(s, 3H, CH<sub>3</sub>CO<sub>2</sub>), 2.37(s, 3H,

CH<sub>3</sub>CO), 5.57(s, 1H, CH), 7.00~7.60(m, 5H, ArH), 8.40(s, 1H, NH); IR(KBr) 3350(NH), 1750(acetyl C=O), 1725(amide C=O) cm<sup>-1</sup>; 원소분석 C<sub>12</sub>H<sub>13</sub>O<sub>4</sub>N에 대한 이론치 C, 61.3, H, 5.57, N, 5.95. 실험치 C, 61.3, H, 5.54, N, 6.01.

#### 2-메틸-N-페닐-1,3-옥사티올란-2-(알파-아세톡시)아세트아미드 1의 합성 및 분리

알파-아세톡시아세트아닐리드 5(18.82 g, 0.08 mol)와 2-머캅토에탄올(8.4 mL, 0.12 mol)의 무수에탄르(400 mL) 용액에 삼불화붕소·에테르(BF<sub>3</sub>·Et<sub>2</sub>O)(9.9 mL, 0.08 mol)를 가하고 20시간 동안 가열 환류하였다. 반응혼합물을 실온으로 냉각시키고 용매를 감압증발로 제거하여 남은 갈색의 기름상의 액체를 메틸렌클로라이드(100 mL)에 녹인 후 냉각된 1N-수산화나트륨 수용액으로 두번 씻고 찬물로 5회 씻은 다음 건조(Na<sub>2</sub>SO<sub>4</sub>)하였다. 용매를 감압증발로 제거하여 노란색의 기름상의 액체(19.61 g, 83%)를 얻었다. <sup>1</sup>H NMR 스펙트럼에 의하면 이것은 4.7 : 4.7 : 1의 알파이성체 7, 베타이성체 9, 히드록시-1,3-옥사티올란 6의 혼합물이었다. 이들을 실리카 겔(Kiesel Gel 60)과 7 : 3(v/v)의 벤젠-에틸아세테이트 혼합용액을 용리액으로 사용하는 관 크로마토그래피로 각각 분리한 다음 벤젠과 석유에테르에서 결정화하여 순수한 백색의 침상의 고체인 알파이성체 7(3.1 g), 베타이성체 9(3.5 g), 히드록시-1,3-옥사티올란 6(0.8 g)을 얻었다.

**히드록시-1,3-옥사티올란 6.** 녹는점 102~118 °C; <sup>1</sup>H NMR(60 MHz)(CDCl<sub>3</sub>) 1.65 and 1.75(s, 3H, 2-CH<sub>3</sub>), 2.90~3.14(m, 2H, 4-CH<sub>2</sub>), 4.01~4.09(m, 1H, OH), 4.15~4.60(m, 3H, 5-CH<sub>2</sub> and methine CH), 7.05~7.75(m, 5H, ArH), 8.53(s, 1H, NH); IR(KBr) 3300(OH), 1650(amide C=O) cm<sup>-1</sup>.

**알파이성체 7.** 녹는점 108~109 °C; <sup>1</sup>H NMR(60 MHz)(CDCl<sub>3</sub>) 1.73(s, 3H, 2-CH<sub>3</sub>), 2.23(s, 3H, CH<sub>3</sub>-CO<sub>2</sub>), 3.07(t, 2H, J=6Hz, 4-CH<sub>2</sub>), 4.07~4.30(m, 2H, 5-CH<sub>2</sub>), 5.42(s, methine CH), 7.08~7.63(m, 5H, ArH), 7.98(s, 1H, NH); IR(KBr) 3300(NH), 1740(acetyl C=O), 1660(amide C=O) cm<sup>-1</sup>; 원소분석 C<sub>14</sub>H<sub>17</sub>O<sub>4</sub>NS에 대한 이론치 C, 56.9, H, 5.80, N, 4.74. 실험치 C, 56.8, H, 5.79, N, 4.81.

**베타이성체 9.** 녹는점 107~108 °C; <sup>1</sup>H NMR(60

MHz)(CDCl<sub>3</sub>) 1.71(s, 3H, 2-CH<sub>3</sub>), 2.23(s, 3H, CH<sub>3</sub>-CO<sub>2</sub>), 3.08(t, 2H, J=6 Hz, 4-CH<sub>2</sub>), 4.20~4.45(m, 2H, 5-CH<sub>2</sub>), 5.30(s, methine CH), 7.08~7.63(m, 5H, ArH), 8.17(s, 1H, NH); IR(KBr) 3300(NH), 1745(acetyl C=O), 1680(amide C=O) cm<sup>-1</sup>; 원소분석 C<sub>14</sub>H<sub>17</sub>O<sub>4</sub>NS에 대한 이론치 C, 56.9, H, 5.80, N, 4.74. 실험치 C, 57.0, H, 5.81, N, 4.73.

#### 아세톡시-1,3-옥사티올란 7 및 9의 산촉매 존재하의 톨루엔 용액에서 디히드로옥사티인 2로의 전환

**알파이성체 7.** 알파이성체 7(0.295 g, 1.0 mmol)의 톨루엔(30 mL) 용액에 파라톨루엔술폰산·일수화물(0.01 g)을 가하고 딘스탁(Dean-Stark) 물분리 장치를 부착하여 5시간 동안 가열 환류하였다. 반응혼합물을 실온으로 냉각시킨 후 포화중탄산소다수와 찬물로 각각 씻고 건조(Na<sub>2</sub>SO<sub>4</sub>)하였다. 용매를 감압증발로 제거하여 노란색의 기름상의 액체(0.23 g)를 얻었다. <sup>1</sup>H NMR 스펙트럼에 의하면 이것은 92 : 8의 디히드로옥사티인 2와 알파이성체 7의 혼합물이었다. 이 혼합물을 실리카 겔(Kiesel Gel GF 254)과 7 : 3(v/v)의 벤젠-에틸아세테이트 혼합용액을 전개액으로 사용하는 얇은막크로마토그래피로 각각을 분리하였다. 첫번째 띠(R<sub>f</sub>=0.7)와 두번째 띠(R<sub>f</sub>=0.5)를 각각 1 : 1의 아세톤-메탄올 혼합용액으로 추출하여 디히드로옥사티인 2(120 mg), 알파이성체 7(10 mg)를 얻었다.

**베타이성체 9.** 베타이성체 9(0.295 g, 1.0 mmol)의 톨루엔(30 mL) 용액에 파라톨루엔술폰산·일수화물(0.01 g)을 가하고 딘스탁 물분리 장치를 부착하여 120시간 동안 가열 환류하였다. 반응혼합물을 실온으로 냉각한 후 포화중탄산소다수와 찬물로 각각 씻고 건조(Na<sub>2</sub>SO<sub>4</sub>)하였다. 용매를 감압증발로 제거하여 노란색의 기름상의 액체(0.23 g)를 얻었다. <sup>1</sup>H NMR 스펙트럼에 의하면 이것은 45 : 55의 디히드로옥사티인 2와 베타이성체 9의 혼합물이었다. 이 혼합물을 실리카 겔(Kiesel Gel GF 254)과 7 : 3(v/v)의 벤젠-에틸아세테이트 혼합용액을 전개액으로 사용하는 얇은 막 크로마토그래피로 각각을 분리하였다. 첫번째 띠(R<sub>f</sub>=0.7)와 두번째 띠(R<sub>f</sub>=0.5)를 각각 1 : 1의 아세톤-메탄올 혼합용액으로 추출하여 디히드로옥사티인 2(60 mg), 베타이성체 9(70 mg)를 얻었다.

### 2-메틸-N-페닐-1,3-옥사티올란-2-(알파-아세톡시)아세트아미드 옥시드 3의 합성 및 분리

**알파이성체 술폭시드 15, 16의 합성.** 아세톡시-1, 3-옥사티올란 알파이성체 7(0.511 g, 1.7 mmol)의 클로로포름(10 mL) 용액을 소금-얼음 중탕에서 0~5 °C로 냉각시킨 다음 클로로포름(10 mL)에 녹인 MC-PBA(80%)(0.37 g, 1.7 mmol) 용액을 10분 동안 걸쳐 적가하였다. 같은 온도에서 1시간 동안 더 교반한 다음 포화중탄산소다수와 찬물로 각각 씻고 건조(Na<sub>2</sub>SO<sub>4</sub>)하였다. 용매를 감압증발로 제거하여 백색의 고체(0.52 g, 98%)를 얻었다. <sup>1</sup>H NMR 스펙트럼에 의하면 이것은 8:2의 시스술폭시드 15와 트랜스술폭시드 16의 혼합물이었다. 이 혼합물을 실리카 겔(Kiesel Gel GF 254)과 7:3(v/v)의 벤젠-에틸아세테이트를 전개액으로 사용하는 얇은 막 크로마토그래피로 각각을 분리하였다. 첫번째 띠(R<sub>f</sub>=0.2)와 두번째 띠(R<sub>f</sub>=0.1)를 각각 클로로포름으로 추출하여 백색의 고체인 시스술폭시드 15(0.33 g)와 트랜스술폭시드 16(0.08 g)을 얻었다.

**알파이성체 시스술폭시드 15.** 녹는점 152~153 °C; <sup>1</sup>H NMR(60 MHz)(CDCl<sub>3</sub>) 1.49(s, 3H, 2-CH<sub>3</sub>), 2.25(s, 3H, CH<sub>3</sub>CO<sub>2</sub>), 2.92~3.22(m, 2H, 4-CH<sub>2</sub>), 4.37~4.69(m, 2H, 5-CH<sub>2</sub>), 5.75(s, methine CH), 7.07~7.65(m, 5H, ArH), 8.93(s, 1H, NH); IR(KBr) 3340(NH), 1743(acetyl C=O), 1671(amide C=O), 1060(S=O) cm<sup>-1</sup>; 원소분석 C<sub>14</sub>H<sub>17</sub>O<sub>5</sub>NS에 대한 이론치 C, 54.00, H, 5.50, N, 4.50. 실험치 C, 53.71, H, 5.53, N, 4.56.

**알파이성체 트랜스술폭시드 16.** 녹는점 151~152 °C; <sup>1</sup>H NMR(60 MHz)(CDCl<sub>3</sub>) 1.62(s, 3H, 2-CH<sub>3</sub>), 2.21(s, 3H, CH<sub>3</sub>CO<sub>2</sub>), 2.90~3.10(m, 2H, 4-CH<sub>2</sub>), 4.30~4.57(m, 2H, 5-CH<sub>2</sub>), 5.52(s, methine CH), 7.10~7.60(m, 5H, ArH), 8.24(s, 1H, NH); 원소분석 C<sub>14</sub>H<sub>17</sub>O<sub>5</sub>NS에 대한 이론치 C, 54.00, H, 5.50, N, 4.50. 실험치 C, 54.01, H, 5.62, N, 4.60.

**베타이성체 술폭시드 17, 18의 합성.** 아세톡시-1, 3-옥사티올란 베타이성체 9(2.0 g, 6.7 mmol)의 클로로포름(40 mL) 용액을 소금-얼음 중탕에서 0~5 °C로 냉각시킨 다음 클로로포름(40 mL)에 녹인 MC-PBA(80%)(1.4 g, 6.7 mmol) 용액을 10분 동안 걸쳐 적가하였다. 같은 온도에서 1시간 동안 더 교반한

다음 포화중탄산소다수와 찬물로 각각 씻고 건조(Na<sub>2</sub>SO<sub>4</sub>)하였다. 용매를 감압증발로 제거하여 백색의 고체(2.05 g, 99%)를 얻었다. <sup>1</sup>H NMR 스펙트럼에 의하면 이것은 7:3의 시스술폭시드 17과 트랜스술폭시드 18의 혼합물이었다. 이 혼합물을 클로로포름과 석유에테르에서 분별 결정화하여 백색의 침상의 고체인 시스술폭시드 17(1.05 g)과 무색의 기름상의 액체인 트랜스술폭시드 18(0.3 g)을 얻었다.

**베타이성체 시스술폭시드 17.** 녹는점 210~211 °C; <sup>1</sup>H NMR(200 MHz)(CDCl<sub>3</sub>) 1.48(s, 3H, 2-CH<sub>3</sub>), 2.22(s, 3H, CH<sub>3</sub>CO<sub>2</sub>), 3.12~3.19(m, 2H, 4-CH<sub>2</sub>), 4.38~4.86(m, 2H, 5-CH<sub>2</sub>), 5.41(s, methine CH), 7.11~7.58(m, 5H, ArH), 8.73(s, 1H, NH); IR(KBr) 3330(NH), 1746(acetyl C=O), 1701(amide C=O), 1072(S=O) cm<sup>-1</sup>; 원소분석 C<sub>14</sub>H<sub>17</sub>O<sub>5</sub>NS에 대한 이론치 C, 54.00, H, 5.50, N, 4.50. 실험치 C, 53.71, H, 5.52, N, 4.46.

**베타이성체 트랜스술폭시드 18.** <sup>1</sup>H NMR(200 MHz)(CDCl<sub>3</sub>) 1.56(s, 3H, 2-CH<sub>3</sub>), 2.27(s, 3H, CH<sub>3</sub>CO<sub>2</sub>), 3.10~3.20(m, 2H, 4-CH<sub>2</sub>), 4.28~4.70(m, 2H, 5-CH<sub>2</sub>), 5.34(s, methine CH), 7.12~7.63(m, 5H, ArH), 8.10(s, 1H, NH).

### 아세톡시 1,3-옥사티올란 술폭시드 치환반응(일반적인 방법)

아세톡시 1,3-옥사티올란 술폭시드 15, 16, 17, 18(0.05 g, 0.16 mmol)의 각각의 톨루엔(10 mL) 용액에 중수소수(0.2 mL, 0.1 mol)를 가하고 가열 환류한 다음 디스탁 물분리 장치를 이용하여 물을 제거하였다. 용매를 50 °C에서 감압증발로 제거하여 백색의 고체(0.05 g)를 각각 얻었다. <sup>1</sup>H NMR 스펙트럼에 의하면 5시간 동안 가열 환류한 경우에 알파이성체 시스술폭시드 15의 methine 수소의 100%가, 베타이성체 시스술폭시드 17의 그것의 40%가 중수소로 치환되었으며 10시간 동안 가열 환류한 경우에 알파이성체 트랜스술폭시드 16 및 베타이성체 트랜스술폭시드 18의 메틸기의 수소의 10%가 중수소로 치환되었다. 중수소 치환정도의 해석은 <sup>1</sup>H NMR에서 나타나는 시스 및 트랜스술폭시드의 각각의 경우에 메틸 및 메타인수소의 면적비율 계산에 의해 해석하였다.

본 연구의 일부는 1994년도 경기대학교 연구비의

지원에 의하여 수행되었다.

### 인 용 문 헌

- Hesse, M. *Ring Enlargement in Organic Chemistry*; VCH Publishers, Inc.: New York, U. S. A., 1991.
- Oae, S. *Organic Sulfur Chemistry: Structure and Mechanism*; CRC Press: Boca Ranton, U. S. A., 1991.
- Park, O. S.; Lee, W. S.; Jang, K. H. *J. Korean Chem. Soc.* **1991**, *35*, 759.
- Oliveto, E. P.; Clayton, T.; Hershberg, E. B. *J. Am. Chem. Soc.* **1953**, *75*, 486.
- (a) Jones, D. N.; Hill, D. R.; Lewton, D. A.; Sheppard, C. *J. Chem. Soc., Perkin I* **1977**, 1574. (b) Barton, D. H. R.; Coner, F.; Greig, D. G. T.; Sammes, P. G.; Cooper, C. M.; Hewitt, G.; Underwood, W. G. E. *J. Chem. Soc. (C)* **1971**, 3540. (c) Ager, I.; Barton, D. H. R.; Greig, D. G. T.; Lucente, G.; Sammes, P. G.; Taylor, M. V.; Hewitt, G. E.; Looker, B. E.; Mowatt, A.; Robson, C. A.; Underwood, W. G. E. *J. Chem. Soc., Perkin I* **1973**, 1187. (d) Cooper, R. D. G.; Jose', F. L. *J. Am. Chem. Soc.* **1970**, *92*, 2575.
- (a) Jones, D. N.; Hill, D. R.; Lewton, D. A. *Tetrahedron Lett.* **1975**, 2235. (b) Baxter, A. G. W.; Stoodley, R. J.; Wilkins, R. B. *J. Chem. Soc., Chem. Comm.* **1973**, 285. (c) Stoodley, R. J.; Wilkins, R. B. *J. Chem. Soc., Perkin I* **1974**, 1572.
- 이때 시스 스펙시드 **15** 및 **17**의 생성이 트랜스 스펙시드 **16** 및 **18**의 생성보다 우세한 것은 1,3-옥사티올란의 결가지의 아닐리드의 수소원자와 산화제의 산소와의 수소결합을 유지하면서 산화반응이 진행되기 때문이다.<sup>8</sup>
- Cooper, R. D. G.; Hatfield, L. D.; Spry, D. O. *Acc. of Chem. Res.* **1973**, 32.
- (a) Lee, W. S.; Hahn, H. G.; Mah, H. D. *J. Korean Chem. Soc.* **1989**, *33*, 247. (b) Cooper, R. D. G. *J. Am. Chem. Soc.* **1970**, *92*, 5010. (c) Barton, D. H. R.; Comer, F.; Greig, D. G. T.; Lucente, G.; Sammes, P. G. *J. Chem. Soc., Chem. Comm.* **1970**, 1059.
- Schmeling, B. V.; Kulka, M.; Thiara, D. S.; Harrison, W. A. U. S. Patent **1966**, 3,249,499. *Chem. Abstr.* **1966**, *65*, 7190g.